

단일채널을 이용하는 컴퓨터 네트워크의 효율 해석

김 종 수

전기 및 전자공학과

(1983. 4. 30 접수)

〈요 약〉

단일채널을 사용하는 근거리 컴퓨터 네트워크에서 채널까지 도달되는 데이타의 전달지연시간으로 인하여 송신된 데이타의 충돌이 발생할 경우 최고의 채널 효율을 얻기 위한 해석적 기법을 도입, 종래의 결과와 비교하였다.

Packet의 길이와 packet이 목적지까지 도달되는데 걸리는 지연시간 a 의 변화에 따른 영향을 해석한 결과, 종래의 값보다 향상된 결과를 얻었고, packet의 길이가 $2a$ 이상이면 효율에 큰 영향이 없음을 입증하였다.

Channel Performance Analysis for Local Computer Communication Networks

Jong Soo, Kim

Dept. of Electrical and Electronic Engineering

(Received April 30, 1983)

〈Abstract〉

In this paper, an analytical method for evaluating the maximum throughput is presented. Non-persistent protocol is applied and compared with that of Carrier Sense Multiple Access Networks. We also consider the packet length and propagation delay problem effects on the throughput. From the analysis, we proved that the throughput equation is independent of packet length distribution, if the messages are at least as long as $2a$. (a is a propagation delay time)

I. 서 론

근래에 컴퓨터의 원활한 보급과 더불어 이들을 서로 연결함으로써 효율적인 운용을 얻을 수 있었다.

따라서 이들을 연결하는 컴퓨터 네트워크가 발전하게 되었고, 비교적 짧은 거리상에 밀집 분포되어 있는 컴퓨터나 마이크로컴퓨터를 연결시키는 근거리 컴퓨터 네트워크(Local Computer Network)가 개발되었다. 이는 불과 수 km 사이의 컴퓨터 통신

으로 packet의 전달 지연시간이 짧고 전송속도도 빠르며 (1Mbps 이상), error의 발생율도 적은 (<1 error/ 10^{12} bits—1 trillion characters) 장점을 갖고 있다. 이 같은 Local Computer Network(LCN)은 몇 가지 변수 및 기리분포를 제외하고는 global network과 유사하다. LCN의 특징은 더미날 및 컴퓨터등의 station들이 근거리에 밀집분포 되어 있으며, 텔레타이프라이터나 C.R.T 같은 buffer가 없는 비동기식과 batch 처리를 하는 동기식 등 복합적으로 구성된 점이다.

이와같 LCN은 일반적으로 그림 1과 같이 4가지

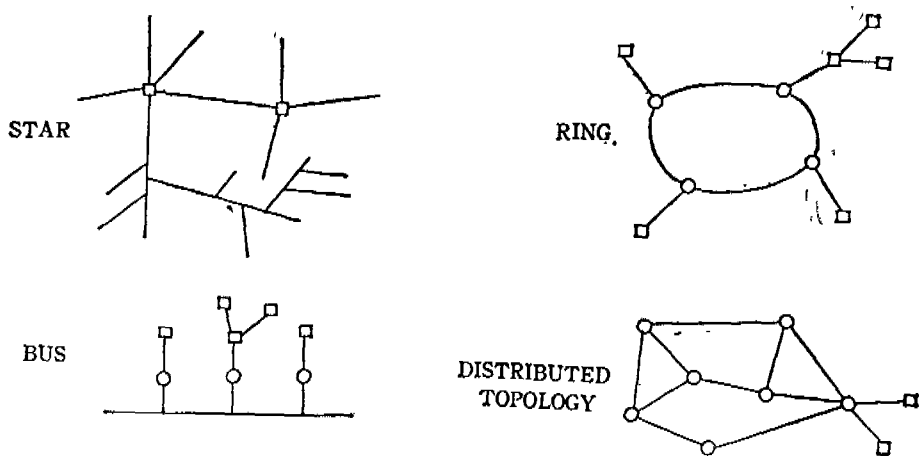


그림 1. Local computer network 의 topology

종류로 대표될 수 있으나 본논문에서는 bus 구조를 갖는 LCN의 채널 효율에 대하여 연구하였다.^(1,4)

II. 조건 및 가정

LCN의 특징은 네트워크를 총괄하여 제어하는 컴퓨터가 별도로 없이 동일한 수준에서 연결함으로 사용자의 증감에 따른 protocol의 수정이 불필요하다. 즉 최소한의 정보만을 구비하여 채널을 사용하는 이점이 있다.⁽⁶⁾

이러한 LCN을 이용하는 마이크로 컴퓨터의 수준에서 고려하여야 할 사항은 다음과 같다.

- 1) 송수신 속도변환(speed conversion)
- 2) 코드변환(code conversion)
- 3) 수식 확인(echoing)
- 4) 편집기능(data-forwarding condition)
- 5) 다른 터미널의 보조기능(device-specific support)

이상의 Interfacing 기능을 가지고 그림 2와 같은 회로로 구성된 더미날은 packet의 충돌이 발생할 경우 일의의 확률로 재송신을 수행하여 처리한다.

Kleinrock과 Tobagi는 위와 같은 송신방법에 대하여 다음과 같은 3가지 protocol들을 제안 하였다.^(1,4)

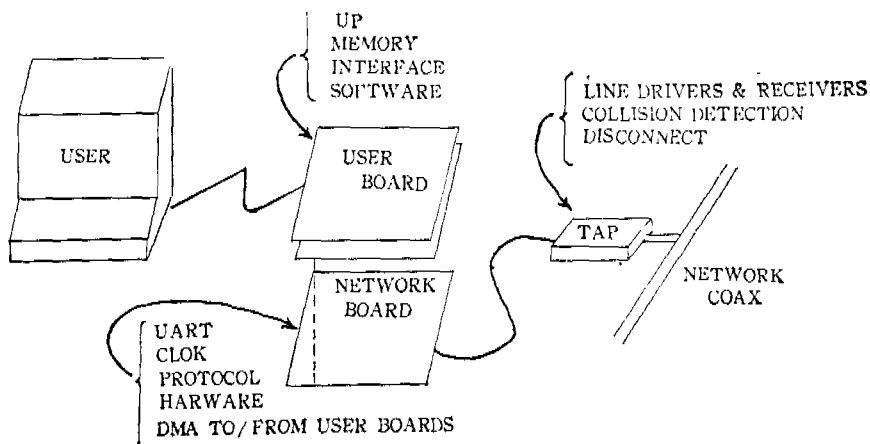


그림 2. 하드웨어의 구성

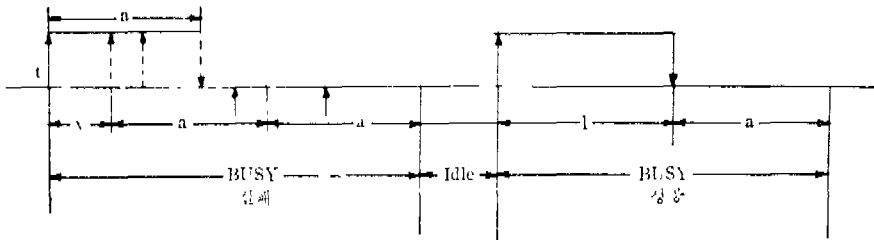


그림 3. 채널의 주기

- 1) Non-persistent: 채널의 상태를 파악하여 사용중(busy)이면 packet을 후에 송신하기 위해 준비하고, 빈 상태(idle)면 송신한다. 즉 packet의 충돌이 발생하면 채널 상태를 주기적으로 검사하여 송신이 없을 때까지 위의 algorithm을 반복 수행한다.
- 2) p -persistent: 채널이 빈 상태면 확률 p 로 packet을 송신하거나, $1-p$ 로 송신을 τ 시간만큼 (end-to-end propagation delay time) 지연 시킨다.
- 3) $1-p$ persistent: 2항의 p 가 1인 경우에 해당된다.

이상의 3가지들 protocol 가운데 non-persistent 방법에 대하여 해석적으로 효율을 산출 비교하고자 한다. 이 non-persistent 방법은 다른 2 protocol에 비해 효율면에서 이점을 갖고 있으나 뿐만 아니라 확률계산에 한정되는 시간을 단축시킬 수 있다.

이때 모든 채널 사용자는 수신 또는 송신 중 한상태에 존재하여 동시에 송수신을 수행하기는 못한다. Xerox 회사에서 개발한 Ethernet는 송수신후에도 계속 채널 상태를 검사하여 충돌이 발생하면, 곧 송신을 중단하므로 불필요한 packet 송신 시 간을 단축하여 CSMA 방법보다 효율을 증가시킨다. (CSMA-CD)

이같은 특성을 갖는 CSMA-CD의 특성은 해석하기 위하여 다음과 같은 조건을 가정한다.

- 1) 채널 사용자수가 무한대로 분포되었다.
- 2) 채널에 도달되는 packet의 분포는 Poisson 분포를 이룬다.
- 3) 한개의 packet이 송신될 경우 error가 없고 두개 이상의 packet이 송신되면 아무런 수신이 이루어지지 못한다.
- 4) packet의 전달 지연시간은 τ (end-to-end propagation delay time)
- 5) 채널의 상태를 파악하여 다음의 한 상태를 알

수 있다.

- a) 채널 사용이 없다.(idle state)
- b) 송신된 packet이 수신(one message, successful & busy)
- c) 송신된 packet이 충돌(two or more messages, unsuccessful & busy)
- 6) Packet의 길이가 상수이고 전송하는데 T 의 시간이 소요된다.
- 7) 채널이 사용중이거나 충돌되어 지연된 packet은 평균 $\bar{X}(>T)$ 만큼 지연시킨다.
- 8) 채널에 도달되는 packet은 새로운 packet뿐만 아니라 앞서 충돌된 packet들로 구성되어 이를의 수효률 G 로 표시한다.
- 9) 발생된 packet들은 서로 독립적이며, 지수적으로 분포되어 있다.
- 10) 시간 T 에 대하여 τ 와 \bar{X} 를 normalize 시켜 치가 $a=\tau/T$, $d=\bar{X}/T$ 로 표시한다.
- 11) 그림 3과 같이 한개의 사이클은 두개의 성분으로 구성되며, 각 구간은 독립적이다.

one cycle=busy(successful or unsuccessful)+idle

- 12) 사용중인 busy 구간의 평균을 \bar{B} , 빈 상태인 idle 구간의 평균을 I , 아무런 충돌이 없이 채널이 사용되는 평균을 \bar{U} 로 표시한다.

본 논문에서는 이와 같은 가정 아래 packet의 길이가 가법일 경우와 고정된 두가지 경우에 대하여 해석하여, packet의 발생에서 수신까지 지연된 시간 D 에 대한 영향도 함께 고찰한다.

III. 해석

그림 3에서, 채널을 빈 상태로 검사하여 한개의 터미널에서 packet이 발생되는 시작을 t 라 하면, $t \sim t+a$ 사이에 발생된 다른 packet들도 빈 상태로

파악하여 송신될 것이다. 따라서 채널에 이중의 packet이 겹쳐 충돌이 발생한다. 만약 이 시간내에 다른 터미널이 packet을 송신하지 않는다면 처음에 발생된 packet은 성공적으로 수신될 것이다.

이와 같은 현상을 채널까지 도달되는 주기(=t+a) 사이에 발생하는 처음 packet이 t+y라면, t+y+a에서 송신하기 시작한 packet에 의해 충돌이 발생할 것이다. 따라서 채널은 t+y+a+a에서 완전히 빈 상태가 될 것이며, 이는 packet 송신이 실패한 경우의 한 주기가 된다. 송신이 성공적으로 수행된다면 이때 소요되는 시간은 1+a가 된다. 채널이 빈 상태인(idle period) 주기는 연속적인 송신사이의 시간간격으로 정한다.

따라서 앞의 부호와 가정을 사용하여 채널의 효율 S 를 구하면

$$S = \frac{U}{B+I} \quad (I = \frac{1}{G}) \quad (1)$$

한 주기내에서 채널의 평균 효율(channel utilization) U 는

$$\bar{U} = (\text{a 구간 내에서 packet이 도달되지 않은 확률}) \times \text{전달 시간} = e^{-\alpha G} \cdot 1 = e^{-\alpha G} \quad (2)$$

$$\bar{B} = (\text{packet이 성공한 확률}) \times (\text{전날시간}) + (\text{packet이 실패한 확률}) \times (\text{실패시간}) = e^{-\alpha G} \cdot (1+\alpha) + (1-e^{-\alpha G}) \cdot (\bar{y}+2\alpha) \quad (3)$$

위의 가정과 조건하를에 의하여 처음 packet이 도달되는 시간 y 는

$$\bar{y} = \int_0^{\alpha} \frac{Ge^{-\alpha y_0}}{1-e^{-\alpha G}} y_0 dy_0 \\ = \frac{1}{1-e^{-\alpha G}} \left[\frac{1}{G} (1-e^{-\alpha G}) - \alpha e^{-\alpha G} \right] \quad (4)$$

4식을 3식에 대입하면

$$\bar{B} = e^{-\alpha G} + 2\alpha - 2\alpha e^{-\alpha G} + \frac{1}{G} (1-e^{-\alpha G}) \quad (5)$$

5식을 1식에 대입하면

$$S = \frac{Ge^{-\alpha G}}{2 + e^{-\alpha G}(G-1) + 2\alpha G(1-e^{-\alpha G})} \quad (6)$$

α 와 G 에 대한 변수로 효율 S 를 그리면 그림 4와 같다.

Slot 시스템에서는, 시작점 t 에서 통기를 이루어 송신하고 1개의 Slot 주기를 τ 라 하면 실패시간은 2α 가 된다. 따라서 $\bar{y}+2\alpha$ 대신에 2α 의 실패시간을 대입하여 계산하면

$$S = \frac{Ge^{-\alpha G}}{1+Ge^{-\alpha G}(1+\alpha) - 2\alpha G(1-e^{-\alpha G})} \quad (7)$$

로 slot의 주기를 짧게 하므로, 불필요한 송신시간을 단축하여 unslot 보다 높은 효율을 얻을 수 있다.

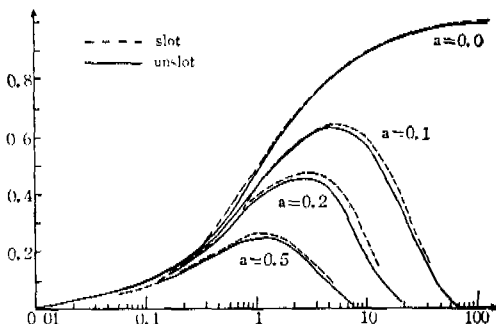


그림 4. Slot과 unslot의 효율곡선

다음 packet의 길이가 가변이고 지수적으로 분포되었을 경우에 대하여 해석하기 위하여 추가의 가정을 하자.

13) Packet의 길이는 최소 2α 이상이며 평균길이를 \bar{m} 라 하면

$$\bar{m} = 2\alpha + \frac{1}{\mu} \text{로 표시한다.}$$

앞의 이론을 적용하면

$$U = e^{-\alpha G} \left(2\alpha + \frac{1}{\mu} \right)$$

$$I = \frac{1}{G}$$

$$\bar{B} = e^{-\alpha G} \left(\frac{1}{\mu} - \frac{1}{G} \right) + \frac{1}{G} + 2\alpha \quad (8)$$

8식을 1식에 대입하면

$$S = \frac{\left(\frac{1}{\mu} - \frac{1}{G} \right) e^{-\alpha G}}{\left(\frac{1}{\mu} + \frac{1}{G} \right) e^{-\alpha G} + \frac{2}{G} + 2\alpha} \quad (9)$$

만일, packet의 길이 \bar{m} 가 1이라면

$$\left(2\alpha + \frac{1}{\mu} \right) = 1$$

$$S = \frac{Ge^{-\alpha G}}{2 + e^{-\alpha G}(G-1) + 2\alpha G(1-e^{-\alpha G})} \quad (10)$$

로 6식과 동일한 결과를 얻을 수 있다. 그러므로 packet의 길이가 최소 2α 이상이면 효율은 packet의 길이에 무관하다. α 가 감소하여 $\alpha=0$ 인 경우, 6식 S 는

$$\lim_{\alpha \rightarrow 0} S = \frac{G}{1+G}$$

이므로 G 가 무한대로 많은 경우 효율 S 는 1로 완전히 이용된다. 이는 가정 1에서 사용자가 무한대로 많다는 것을 뒷받침하는 것이다.

이제 packet이 발생되어 수신될 때까지의 평균 지연시간 D 에 대한 영향을 고려하기 위해 R 을 연속적인 두개의 송신사이의 평균 지연시간이라 하면

$$R = \bar{y} + 2a + d \quad (\text{packet이 전달될 경우}) \\ = d \quad (\text{packet이 차단될 경우})$$

이 된다.⁽⁴⁾

P_s 를 채널이 사용중이므로 packet이 차단될 확률이라 하면

$$1 - P_s = \frac{a + \frac{1}{G}}{\frac{1}{G} + (\bar{y} + 2a)} = \frac{1 + aG}{1 + G(\bar{y} + 2a)} \quad (11)$$

로, 실제 전달되는 packet의 수 H 는

$$H = G(1 - P_s) \quad (12)$$

$\frac{H}{S} - 1$ 은 한 packet이 실제로 재송신되는 평균 수를 표시하므로

$$D = \left(\frac{H}{S} - 1 \right) (\bar{y} + 2a + d) + \left(\frac{G - H}{S} \right) d + 1 + a \quad (13)$$

여기서 $\frac{G}{S}$ 는 앞의 가정에 근거하여 구한 6식으로 주어지나, d 를 무한대로 길게 할 수는 없다. 한편 d 가 격울수록 서로의 충돌이 증가하여 채널에 도달되는 packet의 양이 많아서서 D 가 길어지며, $G = G(S, d)$ 의 함수가 되어 S 에 대하여 최소의 지인을 시기는 d 값을 간단히 계산할 수가 없다.

Slot의 경우 선형フィ드백 모델(linear feedback mo-

del)을 이용하여 해석한다.⁽²⁾

M 개로 구성된 터미널은 think 상태와 backlog 의 2가지 상태 중 1상태에 존재한다. Think 상태에서 터미널은 그 slot에 P_s 의 확률로 packet을 발생하고 backlog 상태에서는 packet을 발생하지 못한다. Backlog 상태에 있는 터미널은 확률 P_t 로 현재의 slot에서 채널 상태를 검사한다. 여기서 M 과 P_s 및 P_t 는 시간에 무관한 값으로 가정한다. Idle 주기의 첫째 slot을 embedded slot이라 하고 다음 idle의 embedded slot 사이를 그 사이클로 정하면 그 사이클의 주기는 $I + T + 1$ 이 되며, idle 상태 중의 $te \sim te + I - 2$ 에서는 think 터미널이 없으므로 $N^{te} = N^{te}, te + I - 1$ slot에서 격어도 한개 이상의 터미널이 packet을 송신한다. $N^{te+I-1} = i$ 라 하면, 송신할 준비 상태를 갖추는 터미널의 확률은

$$\Pr[\text{ready terminal}/N^{te+I-1}=i] \\ = 1 - (1 - P_s)(1 - P_t)^{M-i} \quad (14)$$

P 확률을 연속적인 embedded slot의 transition matrix라 하고, R 을 $te + I - 1$ 과 $te + I$ 사이의 transition matrix, Q 를 사용중인 slot의 transition matrix라 하면,

$$R = S + F \text{ 로 } S_{ik} = P_s [N^{te+I} = k] \\ = K \text{ 및 송신성공}/N^{te+I-1}=i] \\ F_{ik} = P_t [N^{te+I} = k \text{ 및 송신실패}/N^{te+I-1}=i] \\ \text{Packet의 충돌이 발생하여 송신이 실패한 경우} \\ \text{이때의 시간이 } 1+r \text{ 라 하면} \\ P = SQ^{1+r}J + FQ^{1+r} \quad (15)$$

여기서 S, Q, F 및 J 는,

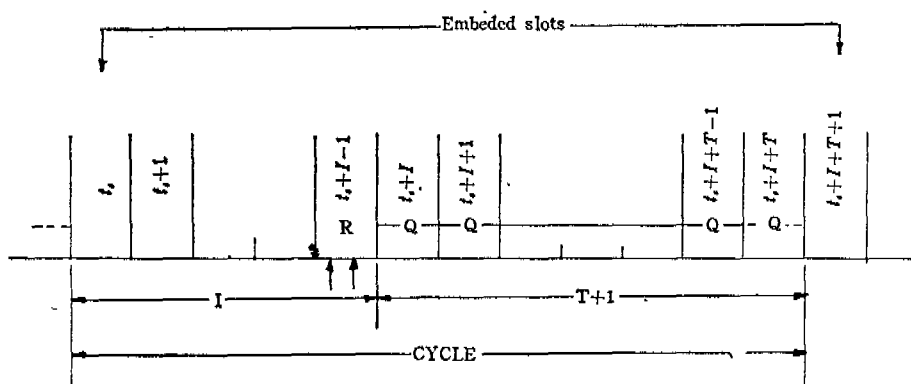


그림 5. Slot의 분포

$$S_{i,K} = \begin{cases} 0, & K < i \\ \frac{(1-P_s)^{M-i} [iP_s(1-P_s)^{i-1}]}{1-(1-P_s)(1-P_s)^{M-i}}, & K = i \\ \frac{(M-i)P_s(1-P_s)^{M-i}(1-P_s)^i}{1-(1-P_s)(1-P_s)^{M-i}}, & K = i+1 \\ 0, & K > i+1 \end{cases}$$

$$F_{i,K} = \begin{cases} 0, & K < i \\ \frac{(1-P_s)^{M-i} [1-(1-P_s)-iP_s(1-P_s)^{i-1}]}{1-(1-P_s)(1-P_s)^{M-i}}, & k=1 \\ \frac{(M-i)P_s(1-P_s)^{M-i-1}[1-(1-P_s)]}{1-(1-P_s)(1-P_s)^{M-i}}, & k=i+1 \\ \frac{(M-i)(1-P_s)^{M-k}P_s^{k-i}}{1-(1-P_s)(1-P_s)^{M-i}}, & k > i+1 \end{cases}$$

$te[te+I-1, te+I+T]$ 에서 transition matrix $Q=q_{i,K}$ 는 $q_{i,K}=P_r\{N'=K/N^{i-1}=i\}$

$i=1, 2, \dots$ 에 대해, $K > M$ 이면 $\binom{M}{K}=0$,

$$q_{i,K} = \begin{cases} 0, & K < i \\ \frac{(M-i)}{K-i}(1-P_s)^{M-K}P_s^{K-i}, & K \geq i \end{cases}$$

J 는 성공적인 송신은 backlog 을 1씩 감소시킴으로 (i, K) 번째 원소는

$$j_{i,K} = \begin{cases} 1, & K = i-1 \\ 0, & \text{이외에서 } K \end{cases}$$

$\pi=[\pi_0, \pi_1, \dots, \pi_M]^T$ embedded 첨에서 확률분포를 이룬다고 하면, $\pi=\pi P$ 로 해를 구할 수 있다. P_s 는 성공률로 송신주기에서 송신초에 따라 변화하므로 $N'=i$ 주 어지면

$$\begin{aligned} P_s(i) &= [(M-i)P_s(1-P_s)^{M-i-1}(1-P_s)^i + iP_s \\ &\quad (1-P_s)^{i-1}(1-P_s)^{M-i}] / [1-(1-P_s)^i(1-P_s)^{M-i}] \end{aligned}$$

로 주어진다.

$(1-P_s)^i(1-P_s)^{M-i}$ 를 δ_i 로 표시하면 $1/(1-\delta_i)$ 는 $N'=i$ 에서 평균 idle 주기를 표시한다.

따라서 평균 채널의 효율 S 는

$$S = -\frac{\sum_{i=0}^M \pi_i P_s(i) T}{\sum_{i=0}^M \pi_i \left(\frac{1}{1-\delta_i} + 1 + P_s(i) T + [1-P_s(i)] r \right)} \quad (16)$$

$A(i)$ 를 $N'=i$ 에서 busy 동안 전체 slot 의 backlog 의 합이라 하면

$$A(i) = \sum_{t=0}^T \sum_{j=t}^M j [SQ']_{i,i} + \sum_{t=0}^T \sum_{j=t}^M j [FQ']_{i,i}$$

평균 사이클 주기에 대해 한 사이클 내의 전체

slot 에 걸친 backlog 의 기대치의 비로 평균 채널의 backlog 을 구할 수 있다.

이의 평균치 N 는,

$$N = \frac{\sum_{i=0}^M \pi_i \left[\frac{i}{1-\delta_i} + A(i) \right]}{\sum_{i=0}^M \pi_i \left[\frac{1}{1-\delta_i} + 1 + P_s(i) T + [1-P_s(i)] r \right]} \quad (17)$$

결국 평균 packet 의 지역 D 는, $D=N/S$ 로 앞의 해석과 유사한 결과를 얻는다.⁽²⁾

IV. 결 론

본 논문에서는 Kleinrock 과 Tobagi 의 해석방법에 근거하여 CSMA-CD 의 non-persistent protocol에 대한 효율을 해석하였다. packet의 길이가 가변 및 고정된 두가지 경우에 대해 고려하고, 지역시간 D 에 대한 영향도 포함하였다.

채널까지 도달되는 지역시간 τ 로, 채널의 상태를 idle 상태로 잘못 검사하여 송신할 경우 packet의 충돌이 발생한다.

이와 같은 경우 첫번째 송신하는 시간을 y 라 하고 이를 조건화를 분포함수에 의하여 계산하였다. 이결과 $a=0.1$, $G=5$ 에서 Kleinrock 과 Tobagi[1]의 해석법보다 unslot의 경우 17%, slot의 경우 3%정도의 효율이 높음을 알 수 있다.

Packet의 길이가 $2a$ 이상이면 효율이 이의 길이에 큰 영향을 받지 않음을 입증하였다. 또한 G 가 적은 영역에서는 a 에 따른 효율에 큰 변화가 없다.

지역시간 D 에 대한 영향에서는 각 터미널의 backlog 된 packet 을 적은 값의 확률 P_s 로 검사하여 채널의 효율을 높일 수 있다. 즉 터미널이 현재의 slot에서 채널상태를 파악하는 수를 표시한다.

Branch 가 적은 구조를 이루는 네트워크에서, 전달지역시간 τ 가 적은 경우에 CSMA-CD 방식보다 SDAM(shortest-delay access method)가 효과적이다. 이는 채널을 사용하는 터미널수에 영향을 받지 않고 CSMA-CD 의 장점을 이용할 수 있다.⁽³⁾

참 고 문 헌

- F. A. Tobagi and V. B. Hunt, "Performance Analysis of Carrier Sense Multiple Access with Collision Detection," Computer Netwo-

- rks, Vol. 4. 1980, pp. 245—259.
- (2) F. A. Tobagi and L. Kleinrock, "Packet Switching in Radio Channels: Part I—Stability Considerations and Dynamic Control in Carrier Sense Multiple Access," IEEE Trans. Commun. Vol. COM-25, pp. 1103—1120, Oct. 1977.
- (3) Liang LI, Herman D. HUGHES and Lewis H. GREENBERG. "Performance Analysis of a Shortest-Delay Protocol," Computer Networks, vol. 6. pp. 189—200, 1982.
- (4) L. Kleinrock and F. A. Tobagi, "Packet Switching in Radio Channels: Part II—Carrier Sense Multiple Access Modes and their Throughput-Delay Characteristics," IEEE Trans. Commun. vol. COM-23, pp. 1400—1416, Dec. 1975.
- (5) J. M. McQuillan, "Local Network Architectures," Computer Design, pp. 18—26. May 1979.
- (6) R. J. Carpenter and Joseph Sokol, Jr. "Serving Users with a Local Area Network," Computer Networks vol. 4, pp. 209—214. 1980.